

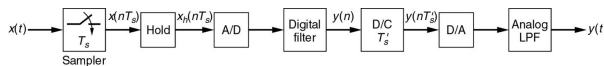
信号处理的数学方法 aka 数字信号与图像处理 Mathematical Methods in Signal Processing

张思容
zhangsirong@buaa.edu.cn

数学与系统科学学院, 北京航空航天大学
School of Mathematics and Systems Science, Beihang University

April 2, 2012

从连续信号到离散信号



- 连续(或模拟)系统的实现: $H(\Omega)$ 由固定类函数逼近; 有固定电路实现(RLC), (专业软件设计);省电!
问题: 存在物理限制(太高频?); 设计复杂; 不精确(物理误差);
- 离散(或数字)系统的实现: $H(\Omega)$ 由有理函数逼近, 无限精确; 滤波器由电脑软件实现, 无物理限制; 增加AD转换, DA转换器;
问题:耗电, 速度慢; 抽样信号的限制;
- AD转换器: 理想脉冲抽样 $x(t) \rightarrow x(nT_s)$, T_s 是抽样周期; 实际可能是矩形脉冲抽样;
- DA转换器: 理想插值公式可以完全重构; 实际用低通滤波器.

主要问题: 存在完全重构的插值公式吗? $x(n) \rightarrow x(t)$?
一般要限制 $x(t)$ 的函数空间, 比如多项式?

Chapter 3: 数字信号处理: Discrete signal processing

- 离散信号
 - 抽样定理
 - Z变换与DTFT
 - 例子与计算
- 离散LTI系统
 - 离散LTI系统的传递函数
 - 离散LTI系统的例子
- 数字滤波器的设计与实现
 - IIR与模拟滤波器设计
 - FIR滤波器设计与逼近
 - 有限数字信号的效应

阅读章节: 北航教材 1.4,1.5,4.9;
参考书: 数字信号与图像处理: 第三章

G.Strang: Computational Science and engineering:

抽样信号及混叠aliasing

抽样与频率变化:

- 抽样频率: 间隔时间 T_s 选取样本 $x(nT_s)$. T_s 是抽样周期(秒), $f_s = 1/T_s$ 是抽样频率(单位HZ), $w_s = 2\pi/T_s$ 是抽样角频率(或抽样频率).
- 信号抽样频率: 设真实信号频率 f, w , 则抽样后数字信号频率 $f' = f/f_s, w' = 2\pi w/w_s = wT_s$
- 常用归一化频率: 为简化分析, 设 $T_s = 1, w_s = 2\pi$, 则抽样信号记为 $x(n)$, 数字信号频率属于 $[0, 2\pi]$,

抽样信号的混叠aliasing

- 设真实信号 $x(t) = \cos wt$, 抽样信号 $x(n) = \cos w'n$
- $w_s = 2w, x(n) = \cos \pi n$, 是最高频率信号, 称为Nyquist频率;
- $w_s = 4w, x(n) = \cos \pi/2n$, 是过抽样oversampling
- $w_s = 4/3w, x(n) = \cos 3\pi/2n$, 是欠抽样undersampling
***两个抽样一样 $1, 0, -1, 0 \dots$ 称为混叠aliasing(高频被低频表示);
- 特别: $\sin \pi n$ 与 $\sin 0$ 混叠。Nyquist频率对正弦信号不够, 一般要求信号的最大频率 $w \leq \pi/T_s$, 即抽样后信号频率 $w' \leq \pi$.

Shannon 插值公式(完全重构)

Theorem (NyquistShannon定理)

抽样信号可以完全恢复原连续信号必须满足:
 (1)原信号是频率范围(频带)有限的,设最高频率 w_c ;
 (2)抽样频率至少是最高频率的两倍。 $w_s \geq 2w_c$.
 称 $2w_c, 2f_c$ 为奈奎斯特率, 称采样率 w_s 的一半为奈奎斯特频率。
Shannon 插值公式: 设抽样信号的高频频率(归一化后)为
 零 $\hat{x}(w) = 0, |w| \geq \pi$, 则 $x(t) = \sum x(n) \frac{\sin \pi(x-n)}{\pi(x-n)}$

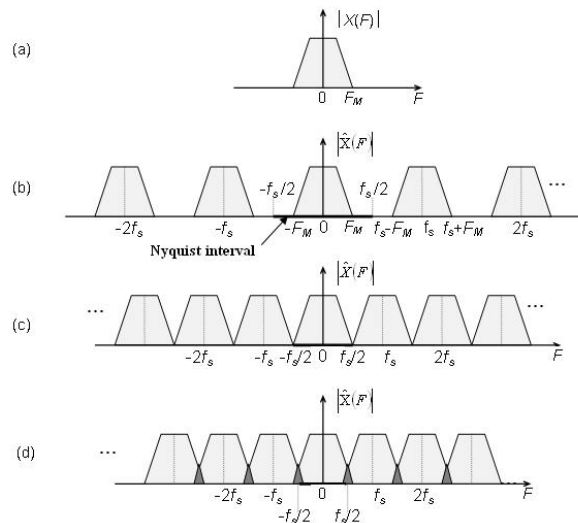
注记: 电话: 8kHz (通话3.4kHz); CD: 44.1kHz (声音20kHz)

Proof.

***假设 $x(n)$ 的傅立叶变换是周期函数。
 有傅立叶级数 $\hat{x}(w) = \sum c_n e^{inw}$, 验证: $c_n = x(-n)$.
 代入傅立叶逆变换定理 $x(t) = \frac{1}{2\pi} \int_{-\pi}^{\pi} (\sum c_n e^{inw}) e^{iwt} dw$ 可得!

□

抽样信号的混叠现象aliasing



网页: www.didkovsky.com/nyu/samplingtheorem/SamplingApplet.html

抽样定理证明:周期函数的离散谱

- 设周期函数在周期 $[0, T_1]$ 中定义为 $f_0(t)$;
- 周期函数的数学表示: $f(t) = \sum f_0(t - nT_1)$
 $f(t) = f_0(t) * \Delta_{T_1}(t)$

Proposition (Dirac comb的变换)

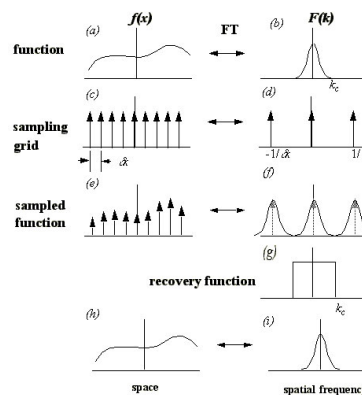
Dirac comb 是离散的周期序列。 $w_1 = 2\pi/T_1$, 有
 傅立叶展开 $\Delta_{T_1}(t) = \frac{1}{T_1} \sum e^{nw_1 t}$.
 傅立叶变换: $\widehat{\Delta_{T_1}}(t) = w_1 \Delta_{w_1}(w)$.

Corollary (周期函数的离散谱)

$$\widehat{f}(t) = \widehat{f_0} \cdot \widehat{\Delta_{T_1}}(t) = \sum (w_1 F_0(nw_1) \cdot \delta(w - nw_1)).$$

注记: 时域周期对应频域离散。

抽样定理证明:抽样函数的周期谱



- 数学表示: $f_s(t) = f(t) \cdot \Delta_{T_s}(t)$
- 卷积公式: $\widehat{f_s}(t) = \frac{1}{2\pi} \widehat{f}(t) * \widehat{\Delta_{T_s}}(t)$
- 周期谱 $F_s(w) = \frac{1}{T_s} \sum F(w - nw_1)$.
 $F(w) = \widehat{f}$.
- 信号理想恢复:可以直接用频率域上方波相乘, 再傅立叶逆变换。
- 一般情况:使用低通滤波器直接得到信号。
- 有其他的抽样方法(矩形抽样定理, 频率抽样定理)。

拉普拉斯变换LT

单边LT变换:

- 目标: 任意函数可作“傅立叶”变换; $x(t)e^{-At}$
- 变换: $X(s) = \int_0^{+\infty} x(t)e^{-st} dt, s = A + iw$.
- 收敛条件: $x(t)$ 分段连续, $|x(t)| \leq Ae^{Mt}$.
- 例子: $x \equiv 1, X(s) = 1/s$, 但傅立叶变换不存在.
- 逆变换: $\mathcal{L}^{-1}\{F(s)\} = f(t) = \frac{1}{2\pi i} \int_{\gamma-i\infty}^{\gamma+i\infty} e^{st} F(s) ds,$

双边LT变换:

- 推广双边Laplace变换: $X(s) = \int_{-\infty}^{+\infty} x(t)e^{-st} dt$
s称为复频率。实变函数→复变函数!
- 如果傅立叶变换存在, $\widehat{x(t)} = X(s)|_{s=wi}$.
- 收敛域ROC的不同: $e^{At}\mu(t)$ 与 $-e^{At}\mu(-t)$ 的LT变换为 $\frac{1}{s-a}$, 收敛域 $Re(s) > a, Re(s) < a$.

Z变换

抽样信号的LT变换:

- Dirac Comb: $\Delta_{T_s}(t) = \sum \delta(t - nT_s)$
- LT变换: $L(\Delta_{T_s}) = \frac{1}{1 - e^{-sT_s}}$
- 抽样信号: $f_s(t) = f(t) \cdot \Delta_{T_s}(t)$
 $L(f_s) = \sum_0^{+\infty} f(nT_s)e^{-s(nT_s)}$.

Definition (Z变换)

设抽样信号 $x_s(t)$, 则其 $LTX_s(s) = \sum x(nT_s)e^{-s(nT_s)}$.

令 $z = e^{sT_s}$ 或 $s = \ln z / T_s$, 有 $X(z) = \sum x(nT_s)z^{-n}$.

一般的归一化表示 $T_s = 1$, 有序列信号 $x(n)$, Z变换 $X(z) = \sum x(n)z^{-n}$.

Z变换的物理意义?

离散时间傅立叶变换

物理频率的表示:

LT变换: s是复频域, 真实频率 $s = iw$: 虚轴;

z变换: $z = e^s$, 真实频率变到 e^{iw} : 单位圆。

设抽样信号 $x_s(t)$, 则其 $LTX_s(s) = \sum x(nT_s)e^{-s(nT_s)}$.

- 定义: $X(e^{i\omega}) = \sum_{n=-\infty}^{\infty} x(n)e^{-i\omega n}$
- 谱为 2π 周期函数. 特别 $X(e^{i\omega}) = X(z)|_{z=e^{i\omega}}$
- 收敛条件: $x(n)$ 绝对可和. 其他? ROC包含单位圆.
- 周期卷积: $x_1(n)x_2(n) \sim \frac{1}{2\pi} \int_{2\pi} X_1(e^{i\theta})X_2(e^{i(\omega-\theta)})d\theta$.

注: 与傅立叶变换不一样!!!

复分析回顾: Best functions

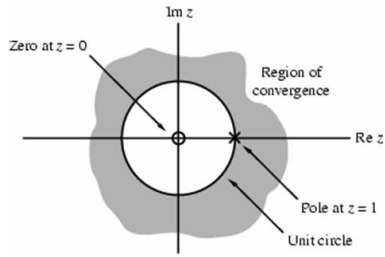
最佳函数: 解析函数

- $f(z) = \sum_{n=0}^{\infty} c_n z^n$
 $f(x) = 1/(1 + 25x^2)$ 无穷光滑不解析!
- 收敛域: 圆盘 $1/r = \limsup \sqrt[n]{|c_n|}$.
收敛域内任意函数值可以多项式指数逼近(泰勒公式仅仅是局部逼近);
→ 1970s 谱方法 (1950s 有限差分方法, 1960s 有限元方法)

亚纯函数或Laurent级数

- $f(z) = \sum_{n=-\infty}^{\infty} c_n z^n$
一般仅考虑有限负项, 则 $f(z)(z - p_1)(z - p_2) \dots$ 是解析的, 称 p_i 为极点;
- 收敛域: 可能是圆盘外 $|z| > r$, 圆环; $R_2 > |z| > R_1$, 收敛域内解析!
一般以极点为边界;

Z变换的收敛域



- Laurent 罗朗级数的收敛: 在收敛域内每一点解析!
- $\sum x(n)z^{-n}$ 收敛的充要条件: $\sum |x(n)z^{-n}| < +\infty$
判别法则: 比值或根值判别。
- 例子: 双边有限序列; 左边序列; 右边序列; 双边无限序列可能不存在Z变换!
- 复变函数的零点 z_i 和极点 p_j :
 $F(z_i) = 0, 1/F(p_j) = 0$
- 结论: ROC以极点为边界!

Z变换的性质

Property	Sequence	z-Transform	ROC
	$g[n]$ $h[n]$	$G(z)$ $H(z)$	\mathcal{R}_g \mathcal{R}_h
Conjugation	$g^*[n]$	$G^*(z^*)$	\mathcal{R}_g
Time-reversal	$g[-n]$	$G(1/z)$	$1/\mathcal{R}_g$
Linearity	$\alpha g[n] + \beta h[n]$	$\alpha G(z) + \beta H(z)$	Includes $\mathcal{R}_g \cap \mathcal{R}_h$
Time-shifting	$g[n - n_0]$	$z^{-n_0} G(z)$	\mathcal{R}_g , except possibly the point $z = 0$ or ∞
Multiplication by an exponential sequence	$\alpha^n g[n]$	$G(z/\alpha)$	$ \alpha \mathcal{R}_g$
Differentiation of $G(z)$	$ng[n]$	$-z \frac{dG(z)}{dz}$	\mathcal{R}_g , except possibly the point $z = 0$ or ∞
Convolution	$g[n] \otimes h[n]$	$G(z)H(z)$	Includes $\mathcal{R}_g \cap \mathcal{R}_h$
Modulation	$g[n]h[n]$	$\frac{1}{2\pi j} \oint_C G(v)H(z/v)v^{-1} dv$	Includes $\mathcal{R}_g \mathcal{R}_h$
Parseval's relation		$\sum_{n=-\infty}^{\infty} g[n]h^*[n] = \frac{1}{2\pi j} \oint_C G(v)H^*(1/v^*)v^{-1} dv$	

Note: If \mathcal{R}_g denotes the region $R_{g-} < |z| < R_{g+}$ and \mathcal{R}_h denotes the region $R_{h-} < |z| < R_{h+}$, then $1/\mathcal{R}_g$ denotes the region $1/R_{g+} < |z| < 1/R_{g-}$ and $\mathcal{R}_g \mathcal{R}_h$ denotes the region $R_{g-} R_{h-} < |z| < R_{g+} R_{h+}$.

特别:z域卷积(复卷积)是周期卷积(沿圆周积分)!

常见序列Z变换

- 单位冲激序列: $\delta(n), X(z) = 1$
注意: 单位冲激序列不是单位冲激函数的离散抽样!
- 单位阶跃序列 $u(n), X(z) = \frac{z}{z-1}, |z| > 1$
矩形序列: $G_N(n), X(z) = \frac{1-z^{-N}}{1-z^{-1}}$
- 指数序列 $a^n u(n), X(z) = \frac{z}{z-a}, |z| > |a|$
余弦序列 $\cos(n\omega_0)u(n), X(z) = \frac{z(z-\cos \omega_0)}{z^2-2z \cos \omega_0+1}$.

***再抽样序列: $x_b(n) = x(nb)$

- Downsampling 降抽样: $x_M(n) = x(Mn), M \in \mathcal{N}$
Z变换 $X_M(z) = X(z^{1/M})$ ROC变化!
- UpSampling 升抽样: $x_{1/M}(n) = x(n/M), M \in \mathcal{N}$ (要补零);
Z变换 $X_{1/M}(z) = X(z^M)$ ROC变化!

复分析回顾: 留数与积分公式

积分公式

- 柯西定理: 解析函数 $\oint_C f(z) dz = 0$
- 柯西积分公式: $f(z_0) = \frac{1}{2\pi i} \oint_C \frac{f(z)}{z-z_0} dz$
特别 $f^{(n)}(z_0) = \frac{n!}{2\pi i} \oint_C \frac{f(z)}{(z-z_0)^{n+1}} dz$

留数

- Laurent级数 $f(z) = \sum_{n=-\infty}^{\infty} c_n (z-z_0)^n$
 $c_{-1} = \frac{1}{2\pi i} \oint_C f(z) dz$ 称为在极点 z_0 处的留数 $Res(z_0)$;
一般 $c_n = \frac{1}{2\pi i} \oint_C \frac{f(z)}{(z-z_0)^{n+1}} dz$.
- 留数定理: $\oint_C f(z) dz = 2\pi i (Res(z_0) + Res(z_1) + \dots)$.
- 有理函数 $f(z) = \frac{N(z)}{D(z)}$ 在简单极点(一阶) z_0 处留数为
 $c_{-1} = \lim_{z \rightarrow z_0} (z-z_0)f(z) = \frac{N(z_0)}{D'(z_0)}$

逆Z变换

Theorem (逆Z变换公式)

$x(n] = \frac{1}{2\pi i} \oint_C X(z)z^{n-1} dz$, C 为收敛域内一封闭曲线。

Corollary

离散时间傅立叶变换(DTFT)的逆变换:

$$x(n) = \frac{1}{2\pi} \int_{-\pi}^{\pi} X(e^{i\omega})e^{i\omega n} d\omega$$

计算方法:

- 有理分式展开 $X(z)/z = \frac{N(z)}{D(z)}$
- 幂级数展开, $X(z) = \sum x(n)z^{-n}$ 长除法;
- 直接计算: 利用简单函数的Z变换的运算。

离散LTI系统

离散线性时不变系统(LTI)

Theorem

离散线性时不变系统(LTI)是卷积系统: $y(n) = x(n) * h(n)$ $h(n)$ 是 $\delta(n)$ 的单位冲激响应。

Outline: $x(n) = \sum x(m)\delta(n-m), \delta(n-m) \rightarrow h(n-m)$.

- 离散系统基本运算: 单位延时, 加法器, 放大器。
- 复杂系统: 系统的并联(响应函数加法), 串联(响应函数卷积复合);
- LTI因果系统当且仅当 $h(n)$ 是因果序列
- LTI稳定当且仅当 $\sum |h(n)| < +\infty$

一般模型(ARMA): 可以看成是一个常系数差分方程

$$\sum b_i y(n-i) = \sum a_j x(n-j).$$

离散LTI系统的传递函数

Definition (传递函数)

一个离散LTI的输入输出信号Z变换的比值 $H(z) = \frac{Y(z)}{X(z)}$ 称为系统的传递函数或系统函数。

特别: 有理传递函数 $\sum b_i y(n-i) = \sum a_j x(n-j)$, 则 $H(z) = \frac{\sum a_j z^{-j}}{\sum b_i z^{-i}}$

- $H(z)$ 的逆z变换是 $h(n)$.
- LTI因果系统 等价: 传递函数的ROC为某个圆外部。有理系统: 分子不大于分母的阶;
- LTI稳定 等价: 传递函数的ROC包含单位圆。因果有理系统: 极点在单位圆内。

系统频率响应

$$H(z) = |H(z)|e^{i\arg H(z)}, \arg(H(z)) = \arctan(H_i m(z)/H_r e(z))$$

特别 $Y(e^{i\omega}) = H(e^{i\omega})e^{i\omega n}$, 是系统对正弦信号的响应。

系统的分类

有理传递函数频率响应: $H(e^{i\omega}) = \frac{p_0}{d_0} e^{i\omega(N-M)} \frac{\prod_{k=1}^M (e^{i\omega} - \xi_k)}{\prod_{k=1}^N (e^{i\omega} - \lambda_k)}$

幅度响应 $|H(e^{i\omega})| = \left| \frac{p_0}{d_0} \right| \frac{\prod_{k=1}^M |e^{i\omega} - \xi_k|}{\prod_{k=1}^N |e^{i\omega} - \lambda_k|}$

相位响应 $\theta(\omega) = \arg H(e^{i\omega}) =$

$$\arg \frac{p_0}{d_0} + \omega(N-M) + \sum_{k=1}^M \arg(e^{i\omega} - \xi_k) - \sum_{k=1}^N \arg(e^{i\omega} - \lambda_k)$$

- 按幅度响应分类: 理想滤波函数: 低通, 高通, 带通, 带阻; 有界实传递函数BR: $|H(e^{i\omega})| \leq 1$, 特别无损系统如果能量不变。全通传递函数: $|H(e^{i\omega})| = 1$
- 按相位响应分类: 零相位传递函数: $\theta(\omega) = 0$ 不存在零相位因果滤波器。线性相位传递函数: $H(e^{i\omega}) = e^{-i\omega D}$, 群延迟 $\tau(\omega) = D$ ***最小最大相位传递函数: 所有零点 $|\xi_k| < 1$ 称为最小相位; 反之最大相位; 不一定则是混合相位;
- 对有理传递函数 $H(z) = N(z)/D(z)$, 按响应项数分类; FIR: 有限冲激响应 $D(z) = 1$, $h(n)$ 有限项; 又称为全零点滤波器; IIR: 无穷冲激响应 $D(z) \neq 1$, $h(n)$ 无限项; 又称为递归滤波器;

简单滤波器:MA,MD

移动平均滤波器 $y(n) = 0.5x(n) + 0.5x(n-1)$

- DC直流信号 $x(n) = 1 \rightarrow y(n) = 1$, AC交流信号 $x(n) = (-1)^n \rightarrow y(n) = 0$.
- 一般频率信号 $e^{in\omega} \rightarrow (0.5 + 0.5e^{-in\omega})e^{in\omega}$.
- $H(e^{i\omega}) = 0.5 + 0.5e^{i\omega} = e^{-i\omega/2} \cos(\omega/2)$ 是低通滤波器。特别是线性相位滤波器。

类似: 移动差分滤波

器 $y(n) = 0.5x(n) - 0.5x(n-1), H(e^{i\omega}) = e^{-i\omega/2} i \sin(\omega/2)$.

Proposition (对称得到线性相位)

如果 $h(k) = h(N-k)$, 则 $H(\omega) = e^{-i\omega N/2} |H(\omega)|$, 特别 $|H(\omega)|$ 是偶函数。

语音信号预处理: $y(n) = x(n) - ax(n-1), 0 < a \leq 1$.

$|H(e^{i\omega})| = \sqrt{1 + a^2 - 2a \cos \omega}$ 是关于 $\omega \in [0, \pi]$ 的增函数。(放大高频).

数字滤波器设计过程

目标: 构造传输函数 $G(z)$ 逼近指定的频率响应。

- 设计指标: 参数 $\omega_p, \omega_s, \delta_p, \delta_s$
- 确定滤波器类型: FIR, IIR
- 确定滤波器的阶数: N
- 给出滤波器的系数: $P(z), P(z)/Q(z)$
- 利用计算机迭代优化系数。

数字滤波器的设计方法

- FIR: 窗口函数, 最小平方逼近, 极大极小逼近; fir1, firfs, firpm;
- IIR: 利用成熟的模拟滤波器设计。

- 1 双线性变换数字频率响应指标转化到模拟频率域;
- 2 使用常用模拟滤波器(butterworth等);
- 3 双线性变换回到数字频率域;

注记:

经典滤波器可以转换为低通滤波器; 构造可逆复变换 $s = F(\hat{s})$ 得到

频率变换。高通 $\Omega = -\frac{\Omega_p \hat{\Omega}_p}{\hat{\Omega}}$, $\hat{\omega} = -1/\omega$;

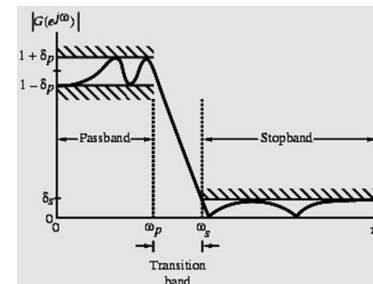
带通 $\Omega = -\Omega_p \frac{\hat{\Omega}_0^2 - \hat{\Omega}^2}{\hat{\Omega} B_\omega}$, $\hat{\omega} = \omega - 1/\omega$; 带阻 $\Omega = \Omega_s \frac{\hat{\Omega} B_\omega}{\hat{\Omega}_0^2 - \hat{\Omega}^2}$,

$\hat{\omega} = \frac{1}{\omega - 1/\omega}$

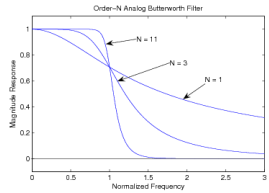
一般的数字滤波器可以直接计算逼近;

低通数字滤波器设计指标

- 通带截止频率 ω_p , 阻带截止频率 ω_s
- 通带
上 $|\omega| \leq \omega_p, 1 - \delta_p \leq |G(e^{i\omega})| \leq 1 + \delta_p$
阻带上 $\omega_s \leq |\omega| \leq \pi, |G(e^{i\omega})| \leq \delta_s$
- 峰波纹值 δ_p, δ_s 用损益函数表示 $\alpha_p = -20 \lg(1 - \delta_p) \text{dB}$, $\alpha_s = -20 \lg(\delta_s) \text{dB}$, 称为通带峰值波纹, 最小阻带衰减。
- 单位化: 设幅度最大值为1; 通带波纹表示 $1/\sqrt{1 + \epsilon^2}$; 阻带波纹表示 $1/A$
- ***其他参数: 选择性参数: $k = \omega_p/\omega_s < 1$
分辨参数: $k_1 = \frac{\epsilon}{\sqrt{A^2 - 1}} \ll 1$.

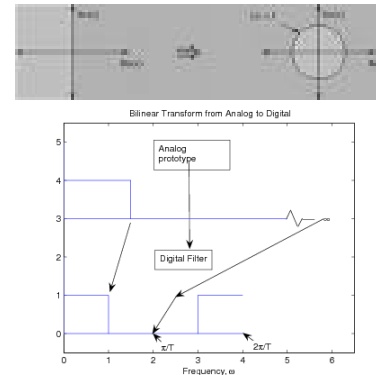


模拟滤波器设计: Butterworth滤波器



- 通用公式 $|H(i\Omega)|^2 = \frac{1}{1+c^2(\Omega^2)^N}$,
- 常用归一化: $|H(i\Omega/\Omega_p)|^2 = \frac{1}{1+(\Omega/\Omega_p)^{2N}}$, 其中 Ω_p 是3dB截止频率; $\alpha_p = 3dB$, $N = \frac{1}{2} \frac{10^{\alpha_s} - 1}{10^{\alpha_p} - 1} / \lg(\Omega_s/\Omega_p)$
- 特征: $\Omega = 0$ 最大; 极大平坦 ($N - 1$ 阶导数为零); 通带与阻带都单调;
- 滤波器表示: $p = i\Omega/\Omega_p$, $H(p) = \frac{C}{D_N(p)} = \frac{1}{\prod(p-p_i)}$, 最后复频率域表示 $H(s) = H(s/\Omega_p)$; 可以计算或用MATLAB得到。
buttaper(N), butterord(), butter(n, w)
- 例子: $f_p = 5kHz, \alpha_p = 3dB, f_s = 10kHz, \alpha_s = 30dB$.
 $N = 4.982 \sim 5$, 极点 $p_k = e^{(2k+N-1)/2N\pi i}$;

IIR滤波器设计: 双线性变换

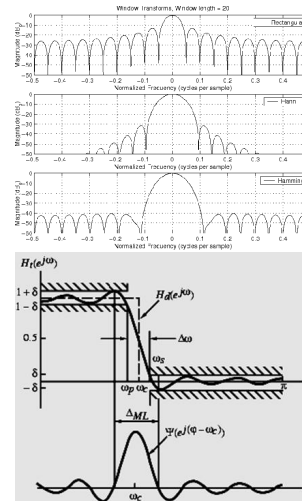


- 从模拟频率域到数字频率域的变换 $s = \frac{2}{T} \frac{1-z^{-1}}{1+z^{-1}}$, 对应的数字传递函数 $G(z) = H(s)|_{s=**}$; 逆映射: $s = a + bi, z = \frac{1+(a+bi)T/2}{1-(a+bi)T/2}$
- 频率映射: 虚轴映到单位圆; 代入 $z = e^{i\omega}$, 频率关系 $\Omega = \frac{2}{T} \tan(\frac{\omega}{2})$
- 双线性变换一般可以简化: 令 $T = 2, z = \frac{1+s}{1-s}$.
- 例子: $f_p = 100Hz, f_s = 300Hz, \alpha_p = 3dB, \alpha_s = 20dB$, 抽样频率 $F_s = 1kHz$; $w_p = 0.2\pi, w_s = 0.6\pi$, 双线性变换 $\Omega_p = \tan(w_p/2) = 0.3249, \Omega_s = 1.376$;
 $N = 1.59 \sim 2$,
 $H(p) = 1/(p^2 + \sqrt{2}p + 1), p = s/\Omega_p$.
冲激 $S = (Z - 1)/(Z + 1)$.

理想低通数字滤波器与矩形窗

- 理想低通数字滤波器的频率响应 $H(e^{i\omega})$ 是周期为 2π 的偶方波; $h_d(n) = \sin(w_p n)/(\pi n)$ 非因果系统
- 矩形窗实现: 截断 M 点加上平移 $M/2$, 有 $h(n) = h_d(n - M/2)$; **通常: 系数要求归一化;
- 特征: 通带与阻带存在波纹! M 变大, 并不减小波纹!
- 例子: $M = 10, 20, 40$
- 说明: 波纹是Gibbs现象的表现。截断等价与矩形窗乘法, 对应频率域是 *sinc* 函数的卷积, *sinc* 函数的边瓣产生波纹。
- 应用: 选择不同窗函数得到较好频率响应, 常用Hammming。注意: 窗函数法不能精确确定 $w_p, w_s, \alpha_p, \alpha_s$, 通常用计算机选取不同 M 调试。但是可以对任何形状的 $H(e^{i\omega})$ 直接有限逼近!

常见窗函数



- 矩形窗函数: $w[n] = 1$
- Bartlett(三角形): $w[n] = 1 - |n|/(M + 1)$;
- Hanning: $w[n] = 0.5(1 + \cos(2\pi n/(2M + 1)))$;
- Hamming: $w[n] = 0.54 + 0.46 \cos(2\pi n/(2M + 1))$
- Blackman: $w[n] = 0.42 + 0.5 \cos(2\pi n/(2M + 1)) + 0.08 \cos(4\pi n/(2M + 1))$;
- Ω 的形状参数: 主瓣宽度 B (3dB带宽), 相对旁瓣最大值 A . 边瓣衰减速度 D 例如: 矩形窗 $B = 0.89 * 2\pi/N, A = -13dB, D = -6, 2\pi/N$ 是常见宽度单位。

FIR:最佳滤波器

最小二乘滤波器

- MSL 极小化误差 $R = \int |ideal(w) - H(w)|^2 dw$
- 主要障碍:Gibbs现象:
- MATLAB: *firls()*
- 一般窗函数不是最小二乘, 但类似;

等波纹滤波器 equi-ripple

- 极小极大逼近: 最大误差(通带和阻带)都一样。 $\max_w |Ideal(w) - H(w)|$
一般用对称滤波器
- 交错定理: d 阶多项式逼近, 至多出现 $d + 2$ 次交错。
- 阶的选定: 估计公式
- 算法: Parks-McClellan算法(特别Remez迭代算法)
- MATLAB *firpmord()*, *firpm()*

逼近的插值方法: 频率抽样法 $H_d(k) = Ideal(w_k)$, 得到 $h_d(n)$;

有限信号的效应

加窗的效应

- 物理分辨率
- 频率的泄漏
- 离散傅立叶变换DFT

本章深入学习问题

附上相关问题以便课程期末报告选择:

- 其他抽样定理(频域,矩形抽样);
- 拉普拉斯变换及其应用;
- 数字滤波器设计的其他方法; (MATLAB中)
- 数字滤波器设计的窗函数选取与比较;
- 交错定理的证明: d 阶多项式逼近, 至多出现 $d + 2$ 次交错。
- *firpm*中Parks-McClellan算法;
- *firls*中算法;
- 简单的数字滤波器应用;